

09; 10

© 1991

К ТЕОРИИ АВТОМОДУЛЯЦИОННЫХ ПРОЦЕССОВ
В РЕЛЯТИВИСТСКОМ КАРСИНОТРОНЕ

А.О. Островский, Ю.В. Ткач

В работе [1] впервые в рамках нелинейной нестационарной теории была рассмотрена динамика автоколебательных процессов в релятивистском карсинотроне. Показано, что в данной динамической системе возможна эффективная реализация сложных автомодуляционных режимов генерации ВЧ полей. При анализе физических закономерностей установления этих режимов основным является вопрос о механизме перехода динамической системы от регулярной автомодуляции к стохастической [2, 3]. Решение указанной задачи в слаборелятивистском случае $\gamma_0 \sim 1$ (γ_0 – релятивистский фактор пучка) проведено в работах [1, 4, 5] методом численного моделирования процессов установления колебаний. Из описания перехода динамической системы к режиму нерегулярной автомодуляции следует, что он, по-видимому, связан со сценарием возникновения хаоса по Рюэлю–Такенсу [6].

Продвижение в релятивистскую область фазовых скоростей показало, что сложные автомодуляционные режимы генерации типичны и для ультрарелятивистского карсинотрона с достаточно высоким КПД [1, 5]. Причем автомодуляция возникает при меньших токах пучка по сравнению со случаем $\gamma_0 \sim 1$. В этой связи представляет интерес исследование возможных механизмов стохастизации автоколебаний в релятивистском карсинотроне. Данная работа и посвящена решению этой задачи. Впервые сообщается, что продвижение в область больших энергий пучков может привести к изменению механизма перехода системы к режиму автостохастических колебаний. Установлено, что такой переход происходит через последовательность бифуркаций удвоения периода, которые в слаборелятивистском случае не наблюдаются.

2. Для исследования автоколебательных процессов в системе электронный пучок–обратная электромагнитная волна использована следующая модель. Электродинамическая структура представляет собой согласованный на обоих торцах отрезок слабогофрикционного волновода со средним радиусом R_0 и длиной L . Вдоль волновода движется тонкий трубчатый релятивистский электронный пучок (РЭП) со средним радиусом R_B . Волновод помещен в сильное продольное магнитное поле, так что движение электронов можно считать одномерным. Кроме этого, будем считать, что пучок находится в черенковском резонансе с первой пространственной гармоникой основной радиальной моды обратной волны вдали от границы полосы

прозрачности: $\omega_0 = (k_0 - h)v_0$, $k_0 = 2\pi/D$ – пространственное волновое число замедляющей структуры, D – период гофрированного волновода, v_0 – начальная скорость РЭП, h – продольное волновое число, ω_0 – резонансная частота.

В условиях черенковского резонанса нестационарное взаимодействие РЭП с обратной волной может быть описано следующей системой уравнений [7, 8]:

$$\frac{\partial F}{\partial \tau} - \beta_g \frac{\partial F}{\partial \xi} = \gamma \int_{\tau}^{\tau+2\pi} e^{i\theta} d\theta, \quad (1)$$

$$d\theta/d\xi = \beta_0 \sqrt{1+q^2}/q - 1, \quad (2)$$

$$dq/d\xi = -\sqrt{1+q^2} \operatorname{Re}[F e^{-i\theta}] q^{-1}. \quad (3)$$

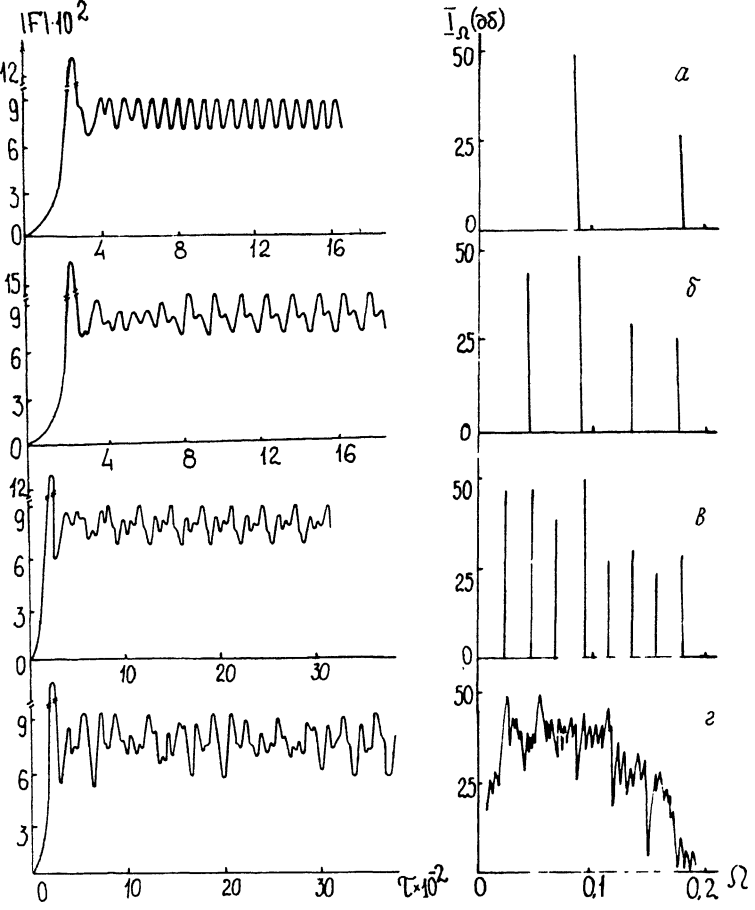
Здесь введены следующие безразмерные переменные и параметры:
 $F = E a, I_0 (\propto R_B) e v_0 / mc^2 \omega_0$, E – напряженность электрического поля резонансной волны, a – амплитуда первой пространственной гармоники, $\propto = (k_0 - h)/\gamma_0$, I_0 – модифицированная функция Бесселя нулевого порядка, e , m – заряд и масса электрона, $\tau = \omega_0(t - z/v_0)$, $\xi = \frac{\omega_0}{v_0} z$, $\beta_0 = \frac{v_0}{c}$, $\beta_g = v_g / (v_g + v_0)$, v_g – групповая скорость волны, $q = p/mc$, p – значения импульсов электронов пучка, θ – фаза электронов относительно синхронной волны, $\theta_0 = \theta(\xi=0)$, $\gamma = I_B K c \beta_g / 2\pi I_A$, $I_A = \frac{mc^3}{e}$, I_B – ток пучка, K – сопротивление связи. Отметим, что в отличие от [1, 4, 5] мы не требовали при записи уравнений движения (2), (3) малого изменения скорости частиц в процессе их взаимодействия с резонансной волной. Это вызвано необходимостью более полного выявления особенностей нелинейной перегруппировки электронов пучка при $\gamma_0^2 \gg 1$, с которой, как известно [5], связано возникновение автомодуляционных режимов генерации.

Приведенную систему уравнений необходимо дополнить начальными и граничными условиями, имеющими в отсутствие предварительной модуляции пучка вид:

$$F(\tau, \xi=0) = 0, \quad F(\tau=0, \xi) = F_0, \quad \zeta = \frac{\omega_0}{v_0} L, \quad (4)$$

$$\theta|_{\xi=0} = \theta_0 \epsilon [\tau, \tau+2\pi], \quad q|_{\xi=0} = \beta_0 \gamma_0.$$

Электронный КПД генератора определяется выражением:



Зависимости от времени амплитуды обратной волны при $\xi = 0$ и спектры огибающей выходного сигнала в установившемся режиме генерации I_Q (дб) для различных значений параметра z (а - $z = 50$, б - $z = 69$, в - $z = 76$, г - $z = 78$). $\Omega = \omega/\omega_0$.

$$\gamma = \frac{1}{2\pi} \int_{-\infty}^{z+2\pi} \frac{(y_0 - \sqrt{1 + q^2})}{y_0 - 1} d\theta_0. \quad (5)$$

3. Решение системы уравнений (1)-(3) проведено численными методами для следующих параметров: $y_0 = 3$, $a_r = 0.22$. Значение резонансной частоты и продольного волнового числа находим из соотношений, определяющих условие черенковского синхронизма РЭП с обратной волной замедляющей структуры [9]:

$$\omega_0 = (k_0 - h)v_0, \quad k_0 - h = \frac{k_0}{2} \left[1 + \left(\frac{\lambda}{k_0 R_0} \right)^2 \right], \quad \lambda = 2.405. \quad (6)$$

Отсюда при условии $R_0/D \approx 1$ получим $\omega R_0 \approx 1$, $v_g/v_0 = 0.55$. Значение v выбрано равным $v = 6 \cdot 10^{-4}$ на плоскости параметров (v, l), приведенной в работе [10], из условия установления стационарного режима генерации, близкого к оптимальному по КПД. При расчетах начальное значение поля задавалось следующим: $Re F_0 = 5 \cdot 10^{-3}$, $Im F_0 = 0$.

Таким образом, фиксируя ток пучка и изменения длину волновода, рассмотрим характер процесса возбуждения ВЧ колебаний в распределенной системе РЭП-обратная электромагнитная волна. При $l \leq 38$ система не возбуждается. Для значений l , находящихся в интервале $38 \leq l \leq 45$, переходный процесс заканчивается установлением стационарного режима генерации. Переходный процесс в этой области значений l носит характер затухающих осциляций амплитуды резонансной с пучком волны. Для стационарного режима генерации картина распределения поля вдоль пространства взаимодействия аналогична, имеющему место в слаборелятивистском случае: в направлении движения РЭП амплитуда обратной волны монотонно убывает до нуля на коллекторном конце лампы. При $l \geq 45$ происходит срыв стационарного режима генерации и в системе устанавливается режим регулярной автомодуляции. По мере дальнейшего роста параметра неравновесности динамической системы наблюдаются две бифуркации удвоения периода (см. рисунок). В результате этих бифуркаций происходит обогащение спектра огибающей выходного сигнала новыми субгармониками. Начиная с $l \geq 78$, в динамической системе устанавливается стохастическая автомодуляция. При этом, как следует из рисунка, дискретный спектр размывается и становится сплошным. По первым бифуркационным значениям параметра l была вычислена скорость перехода к нерегулярной автомодуляции $\delta = (l_2 - l_1)/(l_3 - l_2) \approx 4.1$, величина которой близка к универсальной константе Фейгенбаума $\delta = 4.66920...$ [11]. Выявление большего числа бифуркационных значений l_n является сложной задачей ввиду экспоненциального убывания расстояния между двумя последовательными бифуркациями удвоения периода.

Отметим, что с увеличением l среднее значение электронного КПД существенно не менялось и находилось на уровне $\eta \approx 16-18\%$. Это обстоятельство весьма ценно с практической точки зрения, т.к. оно означает, что в релятивистском карсинотроне автомодуляционные режимы генерации могут быть эффективно реализованы в широком интервале параметров электродинамической системы.

Список литературы

- [1] Гинзбург Н.С., Кузнецов С.П., Федосеева Т.Н. // Изв. вузов. Радиофизика. 1978. Т. 21. № 7. С. 1037-1052.

- [2] Рабинович М.И. // УФН. 1978. Т. 125. В. 1. С. 123-168.
- [3] Лихтенберг А., Либерман М. Регулярная и стохастическая динамика. М.: Мир, 1984. 528 с.
- [4] Безручко Б.П., Кузнецов С.П., Трубецков Д.И. В кн.: Нелинейные волны. Стохастичность и турбулентность. Горький: ИПФ АН СССР, 1980. С. 29-36.
- [5] Гинзбург Н.С., Кузнецов С.П. В сб.: Релятивистская высокочастотная электроника. Горький. ИПФ АН СССР. 1981. С. 101-144.
- [6] Рюэль Д., Токенс Ф. В кн.: Странные аттракторы / Под ред. Синая Я.Г., Шильникова Л.П. М.: Мир, 1981. С. 117-151.
- [7] Бондаренко В.А., Островский А.О., Ткач Ю.В. Препринт ХФТИ, 88-28 1988. С. 7.
- [8] Бондаренко В.А., Островский А.О., Ткач Ю.В. // ЖТФ. 1990. Т. 60. № 6. С. 134-137.
- [9] Курилко В.И., Кучеров В.И., Островский А.О., Ткач Ю.В. // ЖТФ. 1979. Т. 49. № 12. С. 2569-2575.
- [10] Kovalev N.F., Petrukhina V.I., Smorgonskiy A.B. // Radiotekhnika i elektronika. 1975. T. 20. № 7. C. 1547-1550.
- [11] Фейгенбаум М. // УФН. 1983. Т. 141. В. 2. С. 343-374.

Поступило в Редакцию
8 января 1991 г.
В окончательной редакции
28 мая 1991 г.